

九州大学工学部 正員 小坪清真
同 学生員○橋本和治

1. まえがき

地震を受けた橋梁の破損箇所はその支承部(橋脚頭部)に顕著である。特に最近の橋梁はスレンダーフレキシブルな高橋脚を有し、橋脚間の剛性を異にするものが多い。そのような橋梁ではバネのような橋脚は剛体の橋脚が支持されたりると考えられ、地震を受けた場合にその支承部(橋脚頭部)に種々の力が作用することとは十分推察される。そこで以下に述べる模型実験を行ない橋梁が外乱を受けた場合にその支承部(橋脚頭部)に作用するであろう種々の力を橋脚の応答歪から求め、解析結果と比較してみた。

2. 実験とその概略

材料としては橋脚には溝形鋼($125 \times 65 \times 6 \times 8.5 \text{ mm}$, 12.5 kg/m)、橋脚にはベータライト(外径 $\phi_1 = 50 \text{ mm}$, 内径 $\phi_2 = 44 \text{ mm}$)を使用した。支点 C は剛結し、支点 B はペアリングアーチ回転(鉛直軸回り)できるようとした。外乱は A 点に歪式加速度計をとりつけ測定した。ゲージは G_1 , G_2 の位置に 90° 交叉し左 2 枚ゲージ(橋軸方向, 橋軸直角方向), 1 枚ゲージ(橋軸直角方向)を張った。応答は基盤(斜線部)を橋軸直角方向に運動させ、その応答歪を strain meter および photo corder で記録した。なお実験は橋脚 AB の長さ L を三種類に変化(橋脚 CD は一定)させ橋脚間の剛性を変え、三回行った。後の解析の際に必要となる振動系の減衰定数及び固有振動数は moving coil で橋脚を電磁的に加振して、その共振周波数及び加振力より断後の自由減衰振動力を求めた。

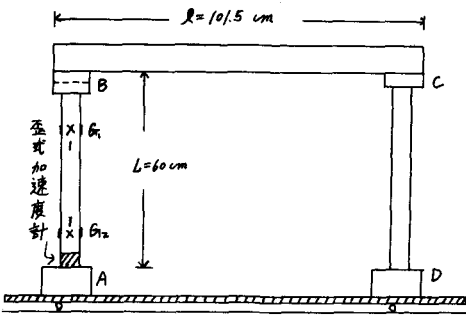


図-1 模型概略

3. 振動方程式

解析する際には橋脚を剛体と考え、それが図-2 のように運動する時、橋脚は図-3 のように変形する。右図の力、変形は次のようになる。

X_1 : 外乱を受けた場合、橋脚頭部に作用するせん断力

$$M_{11} : \quad , \quad M_{12} : \quad , \quad T_1 : \quad , \quad T_2 : \quad \text{曲げモーメント(橋脚には振りモーメント)} \\ \text{振りモーメント(橋脚には曲げモーメント)}$$

γ : 橋脚の重心 G の水平変位

θ : 鉛直軸(T)の回りの回転角

φ : 橋脚(M)の回りの回転角

α : 橋脚名 $\alpha = 1$ 橋脚 AB

$\alpha = 2$ " CD

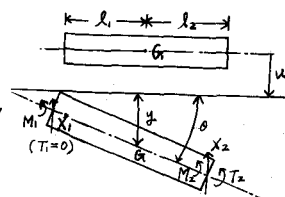


図-2 橋脚の運動

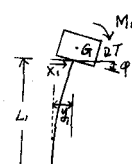


図-3 橋脚の変形

橋脚の重心は y , θ , φ という 3 つの自由度をもつ、運動方程式は次のようにある。

$$\frac{W}{3} \ddot{y} + X_1 + X_2 = -\frac{W}{3} u \quad (1) \quad W: \text{橋脚の重量}, u: \text{地動変位}$$

$$\frac{W}{3} \ddot{\theta} - X_1 l_1 + X_2 l_2 + T_2 = 0 \quad (2) \quad l_1: \text{軸 } T \text{ に関する慣性モーメント}$$

$$\frac{I_0}{g} \ddot{\theta} + M_1 + M_2 = 0$$

(3)

左軸 M に関する慣性モーメント

φ, θ, φ は次のようにならう。

$$\varphi = f_1(X, M), \theta = f_2(X, M), \varphi = f_3(T) \quad (4)$$

これが X, M, T は次のようにならう。

$$X = F_1(\varphi, \theta, \varphi), M = F_2(\varphi, \theta, \varphi), T = F_3(\theta) \quad (5)$$

X, M, T を求め上式 (1), (2), (3) に代入すると振動方程式が次のようになる。

$$\frac{I_0}{g} \ddot{\varphi} + 4(R_1 + R_2) \varphi + (R_2 l_2 - R_1 l_1) \theta - 6EI \left(\frac{l}{L^2} + \frac{l}{L^2} \right) \varphi = -\frac{I_0}{g} \ddot{u} \quad (1)'$$

$$\frac{I_0}{g} \ddot{\theta} + 4(R_2 l_2 - R_1 l_1) \varphi + \{R_2' + 4(R_1 l_1^2 + R_2 l_2^2)\} \theta + 6EI \left(\frac{l_1}{L^2} - \frac{l_2}{L^2} \right) \varphi = 0 \quad (2)'$$

$$\frac{I_0}{g} \ddot{\varphi} - 6EI \left(\frac{l_1}{L^2} + \frac{l_2}{L^2} \right) \varphi + 6EI \left(\frac{l_1}{L^2} - \frac{l_2}{L^2} \right) \theta + 4EI \left(\frac{l_1}{L^2} + \frac{l_2}{L^2} \right) \varphi = 0 \quad (3)'$$

振動数、振動型は $\varphi = A_1 e^{i\omega t}, \theta = A_2 e^{i\omega t}, \varphi = A_3 e^{i\omega t}$ を (1)', (2)', (3)' に代入し, $\dot{u} = 0$ とおけば求められる。

$$\begin{bmatrix} \frac{I_0}{g} & 0 & 0 \\ 0 & \frac{I_0}{g} & 0 \\ 0 & 0 & \frac{I_0}{g} \end{bmatrix} = [m] \quad \begin{bmatrix} 4(R_1 + R_2) & 4(R_2 l_2 - R_1 l_1) & -6EI \left(\frac{l}{L^2} + \frac{l}{L^2} \right) \\ 4(R_2 l_2 - R_1 l_1) & \{R_2' + 4(R_1 l_1^2 + R_2 l_2^2)\} & 6EI \left(\frac{l_1}{L^2} - \frac{l_2}{L^2} \right) \\ -6EI \left(\frac{l}{L^2} + \frac{l}{L^2} \right) & 6EI \left(\frac{l_1}{L^2} - \frac{l_2}{L^2} \right) & 4EI \left(\frac{l_1}{L^2} + \frac{l_2}{L^2} \right) \end{bmatrix} = [k] \quad \begin{bmatrix} \varphi \\ \theta \\ \varphi \end{bmatrix} = [x] \quad \begin{bmatrix} 1 \\ 0 \\ 0 \end{bmatrix} = [F]$$

とおして (1)', (2)', (3)' は次のようにならう。

(7) は成分に分けて書けば次のようになる。

$$[m] \ddot{x} + [k] x = -\ddot{u} [m] [F] \quad (6)$$

これは変形分布 $\{x_i\}$ を次のようにならう。

$$\{x_i\} = \sum_{j=1}^3 g_{ij} \{X_j\} \quad (7)$$

$$\begin{bmatrix} \varphi \\ \theta \\ \varphi \end{bmatrix} = \begin{bmatrix} X_1 & X_2 & X_3 \\ X_{12} & X_{22} & X_{32} \\ X_{31} & X_{32} & X_{33} \end{bmatrix} \begin{bmatrix} g_{11} \\ g_{21} \\ g_{31} \end{bmatrix} \quad \begin{cases} i : \text{振動次数} \\ j : \text{質点番号} \\ g_{ij} : \text{一般座標} \end{cases}$$

(7) を (6) に代入して整理すれば次のようにならう。

$$\begin{bmatrix} M_1 & 0 & 0 \\ 0 & M_2 & 0 \\ 0 & 0 & M_3 \end{bmatrix} \begin{bmatrix} g_{ij} \\ g_{2j} \\ g_{3j} \end{bmatrix} + \begin{bmatrix} K_1 & 0 & 0 \\ 0 & K_2 & 0 \\ 0 & 0 & K_3 \end{bmatrix} \begin{bmatrix} g_{ij} \\ g_{2j} \\ g_{3j} \end{bmatrix} = -\ddot{u} \begin{bmatrix} M_1 & 0 & 0 \\ 0 & M_2 & 0 \\ 0 & 0 & M_3 \end{bmatrix} \begin{bmatrix} B_1 \\ B_2 \\ B_3 \end{bmatrix} \quad (8)'$$

$$\begin{cases} M_{ij} = \frac{3}{2} m_i X_{ij}^2, & m_1 = \frac{I_0}{g}, \\ K_{ij} = \frac{3}{2} \frac{3}{2} R_{ij} X_{ij} K_{ij}, & m_2 = \frac{I_0}{g}, \\ B_{ij} = m_i X_{ij} / \frac{3}{2} m_i X_{ij}, & m_3 = \frac{I_0}{g} \end{cases}$$

減衰項も考慮に入れて一般に次のようにならう。

$$\ddot{\varphi}_i + 2\zeta_i \omega_i \dot{\varphi}_i + \omega_i^2 \varphi_i = -\ddot{u} \beta_i \quad (8)$$

$$\begin{cases} \zeta_i : i \text{ 次 減衰定数} \\ \omega_i : \text{ 固有円振動数} \end{cases}$$

上式 (8) の \ddot{u} に外乱を与え数値積分すれば (7) より変形分布 $\{x_i\}$ が求まる。

4. 施管理論

施管は橋脚頭部に地震時作用する内力 X, M, T を解析的方法及び実験より求め、比較する。

(i) 解析的方法

(ii) 実験

(5) より外乱を受けた場合橋脚頭部に作用する力は 测定できるのは橋脚任意点の施管歪である。それによ
せん断力 : $X = R(4\varphi - 4\theta, \theta - 2L, \varphi)$ (9) り外乱を受けた場合に橋脚頭部に作用する力は、

$$\text{曲げモーメント : } M = \frac{12EI}{L^2} \left(-\frac{1}{2} \varphi + \frac{1}{2} \theta, \theta + \frac{1}{3} L, \varphi \right) \quad (10)$$

$$\text{捩りモーメント : } T = R' \theta \quad (11)$$

EI : 橋脚の曲げ剛性

(10)

$$X = \frac{EI}{g} \frac{(\varepsilon_1 - \varepsilon_2)}{x_1 - x_2} \quad (12)$$

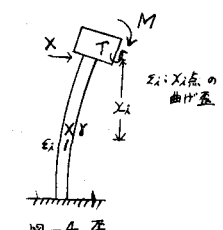
(11)

$$M = \frac{EI}{g} \frac{(2\varepsilon_2 - \varepsilon_1)}{x_2 - x_1} \quad (13)$$

$$T = 2\pi R^2 G \gamma \quad (14)$$

となる。

$$\begin{cases} R = \frac{1}{2} (\phi_1 + \phi_2) \\ \gamma = \phi_1 - \phi_2 \end{cases}$$



以上の結果は講演時収録の予定である。